

# สายอากาศโครงแบบใหม่ที่ป้อนด้วยสายนำสัญญาณแบบระนาบร่วมสำหรับการสื่อสารสามแถบความถี่

## New Configurations CPW-Fed Triple Band Frequency Antenna

ณรงค์ฤทธิ์ เมฆลอย<sup>1</sup> และสุภณ พลสิงห์



### บทคัดย่อ

บทความนี้ นำเสนอการศึกษาและการออกแบบสายอากาศโครงแบบใหม่ย่านความถี่สามแถบที่ป้อนด้วยสายนำสัญญาณแบบระนาบร่วมเพื่อให้สามารถใช้งานในย่านความถี่กว้างโดยจะจำลองแบบ (simulation) โครงสร้างของสายอากาศด้วยโปรแกรม IE3D สายอากาศจะมีความทำงานสามโหมด โหมดที่หนึ่งเรโซแนนซ์ 2.4 GHz โหมดที่สองเรโซแนนซ์ 3.3 GHz และโหมดที่สามเรโซแนนซ์ 5.2 GHz โดยมีวัตถุประสงค์ให้สายอากาศที่มีแบนด์วิดท์กว้างซึ่งค่าแบนด์วิดท์ของความถี่เรโซแนนซ์ช่วงต่ำมีค่าเท่ากับ 0.16 GHz ช่วงกลางมีค่า 0.80 GHz และความถี่เรโซแนนซ์ช่วงสูงมีค่าเท่ากับ 1.77 GHz สายอากาศที่นำเสนอออกแบบให้มีการแมตซ์อิมพีแดนซ์ที่ 50 โอห์มเพื่อใช้งานกับการสื่อสารย่านความถี่ 2.34-6.62GHz ซึ่งครอบคลุมมาตรฐาน IEEE802.11b/g (2.4-2.4835 GHz), IEEE802.11a (5.15-5.35 GHz), IEEE 802.11j (4.90-5.091 GHz) ผลการจำลองเปรียบเทียบกับกรวัดพบว่ามีความสอดคล้องกัน เมื่อค่าแบนด์วิดท์พิจารณาที่ค่า S<sub>11</sub>ต่ำกว่า -10 dB.

**คำสำคัญ:** สายนำสัญญาณแบบระนาบร่วม สายอากาศโครงแบบใหม่ สายอากาศย่านความถี่สามแถบ

### ABSTRACT

This paper presents the Triple-band frequency of coplanar waveguide (CPW)-fed new configurations antenna designed and simulated by using IE3D program. The three operating modes of the proposed antenna worked for the resonant mode 2.4, 3.3 and 5.2 GHz. The objective of an antenna was to provide wide bandwidth. The bandwidth at lower resonance frequency was 0.16 GHz, middle resonance frequency was 0.80 GHz. and upper resonance frequency was 1.77 GHz. This antenna was designed 50 Ohm impedance feed line for band frequency 2.34-6.62 GHz which supported WLAN communication coverage IEEE802.11b/g (2.4-2.4835 GHz), IEEE802.11a (5.15-5.35 GHz), IEEE802.11j (4.90-5.091 GHz). The simulation results were agreeable with experimental results. The proposed antenna system provided a large bandwidth at S<sub>11</sub><-10dB.

**Keywords:** coplanar waveguide, new configurations antenna, Triple band antenna

<sup>1</sup>อาจารย์ ดร. ภาควิชาวิศวกรรมไฟฟ้าและโทรคมนาคม คณะวิศวกรรมศาสตร์ มหาวิทยาลัยเทคโนโลยีราชมงคลกรุงเทพ

<sup>2</sup>ผู้ช่วยศาสตราจารย์ ภาควิชาวิศวกรรมไฟฟ้าและโทรคมนาคม คณะวิศวกรรมศาสตร์ มหาวิทยาลัยเทคโนโลยีราชมงคลกรุงเทพ

## บทนำ

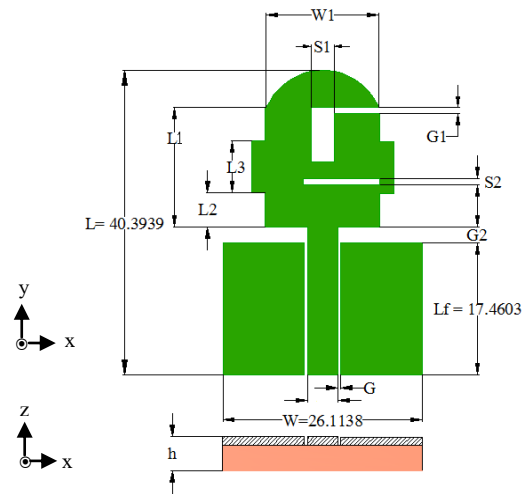
สายอากาศย่านความถี่สามแถบที่ป้อนด้วยสายนำสัญญาณแบบระนาบร่วม นับได้ว่า เป็นสายอากาศที่นำมาใช้เพื่อรองรับระบบสื่อสารข้อมูลในปัจจุบันมากขึ้น (Argawell et al., 1998), (Balanis, 1997), (Sze and Wong, 2001), (Chen et al., 2004) ซึ่งนิยมถูกออกแบบมาเพื่อให้มีขนาดเล็ก น้ำหนักเบา มีประสิทธิภาพสูงเพราะมีคุณสมบัติทางฟิสิกส์และทางไฟฟ้าได้ดี (Argawell et al., 1998), (Chen and Chen 2004) และถูกออกแบบให้มีการแพร่กระจายคลื่นในระดับต่ำ (Eldek et al., 2002) ที่มีการป้อนโดยสายนำสัญญาณแบบระนาบร่วม (CPW-fed) เนื่องจากโครงสร้างสายนำสัญญาณแบบระนาบร่วมมีคุณสมบัติที่ดีหลายประการ ไม่ว่าจะเป็นการสูญเสียของสัญญาณและการผิดเพี้ยนต่ำ มีแบนด์วิดท์ที่กว้าง อย่างไรก็ตามสายอากาศแพทช์มีแบนด์แคบ ดังนั้นในการศึกษาการออกแบบสายอากาศแบบแผ่น (Coplanar Antenna: CPA) ได้มีการปรับขนาดของร่อง เข้าไปในตัวสายอากาศเพื่อแก้ไขปัญหาค่าแบนด์วิดท์ที่แคบ

วัตถุประสงค์ของงานวิจัยนี้ศึกษาคุณสมบัติสายอากาศแบบรูปทรงแบบใหม่และป้อนสัญญาณด้วยสายนำสัญญาณแบบระนาบร่วมซึ่งในการออกแบบนี้ได้ศึกษางานวิจัยที่ผ่านมาเกี่ยวกับการออกแบบสายอากาศสำหรับย่านความถี่กว้าง (1.85-6.39 GHz) (Sari-kha et al., 2006) และการออกแบบสายอากาศย่านความถี่กว้างมาก (3.1-10.6 GHz) (Horita and Iwasaki, 2005) เพื่อให้สามารถรองรับระบบโครงข่ายไร้สาย (WLAN) และ WiMAX และเครือข่ายระบบสื่อสารไร้สายมาตรฐาน IEEE802.11b/g (2.4-2.4835 GHz) IEEE802.11a (5.15-5.35 GHz) และ IEEE802.11j (4.940-4.990 GHz) ซึ่งในปัจจุบันระบบเครือข่ายไร้สายมีผู้สนใจศึกษาอยู่เป็นจำนวนมาก (Archevapanichai and Wakabayashi, 2007) (Chulvanich et al., 2007) ดังนั้นบทความนี้ได้นำเสนอสายอากาศรูปทรงแบบใหม่ ความถี่สามแถบที่ป้อนด้วยสายนำสัญญาณแบบ

ระนาบร่วม โดยจำลองแบบ (Simulation) โครงสร้างสายอากาศด้วยโปรแกรม IE3D สายอากาศจะมีการทำงานสามโหมด โดยโหมดหนึ่งเรโซแนนซ์ 2.4 GHz โหมดสองเรโซแนนซ์ 3.3 GHz และโหมดสามเรโซแนนซ์ 5.2 GHz สายอากาศที่นำเสนอออกแบบให้มีการแมทซ์อิมพีแดนซ์ที่ 50 โอห์มเพื่อใช้งานกับระบบสื่อสารไร้สาย

## วิธีดำเนินการวิจัย

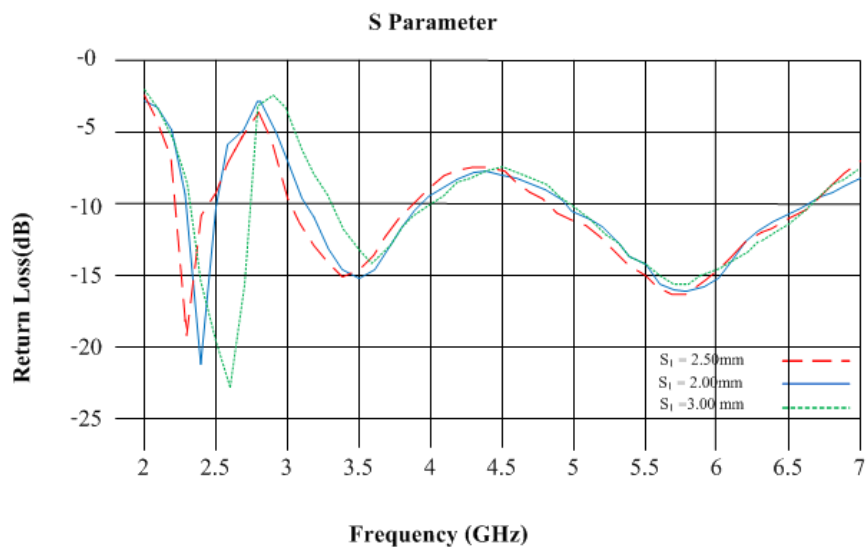
การออกแบบสายอากาศย่านความถี่สามแถบที่ป้อนด้วยสายนำสัญญาณแบบระนาบร่วมที่มีการปรับร่อง และการวิเคราะห์หาค่าคุณลักษณะของสายนำสัญญาณแบบระนาบร่วมชนิดไม่มีกราวด์ด้านล่างโดยใช้วิธีการวิเคราะห์ด้วยวิธีการส่งคงรูป เพื่อหาค่าคงที่ไดอิเล็กตริกประสิทธิผล (Effective dielectric constant) และค่าอิมพีแดนซ์คุณลักษณะ (Characteristic impedance) จะอยู่ในค่าอัตราส่วนของอินทิกรัลวงรีแบบสมบูรณ์ขั้นแรก (Complete elliptic integral of the first kind) ร่วมกับโปรแกรม IE3D ในการออกแบบและหาค่าที่เหมาะสมที่สุด (Optimization) ดังภาพที่ 1 ซึ่งประกอบไปด้วยสตริป (Strip) อยู่ตรงกลางด้านบนของฐานไดอิเล็กตริก (Substrate) โดยมีความกว้างของสตริป ( $W_r$ ) = 4.01 mm. (Balanis, 1982), (Bahl and Bhartia, 1980), (Hammerstad, 1975) มีร่อง (Slot) และความกว้างระหว่างสตริปถึงระนาบกราวด์ ( $G$ ) = 0.37 mm. และวัสดุที่นำมาใช้เป็นแผ่นวงจรพิมพ์แบบหน้าเดียว โดยใช้ FR4 มีคุณสมบัติดังต่อไปนี้ ค่าคงที่ไดอิเล็กตริก ( $\epsilon_r$ ) = 4.4 ค่าการสูญเสียแทนเจนซ์ ( $\tan \delta$ ) = 0.02 ความสูงของฐานรองไดอิเล็กตริก ( $h$ ) = 1.6 mm. ความหนาของทองแดง ( $t$ ) = 0.002 mm. การจำลองหาค่าพารามิเตอร์ต่างๆ ของสายอากาศ ดังภาพที่ 1



ภาพที่ 1 โครงสร้างของสายอากาศรูปโครงสร้างใหม่แบบระนาบร่วม

จำลองการเปลี่ยนแปลงค่า  $S_1$  เมื่อกำหนดให้  
 $W_1 = 15.00$  mm.,  $W = 26.11$  mm.,  $L = 40.39$  mm.,  
 $L_f = 17.46$  mm.,  $L_1 = 15.08$  mm.,  $L_2 = 5.00$  mm.,  
 $L_3 = 7.00$  mm.,  $S_2 = 0.86$  mm.,  $G_1 = 0.75$  mm.,

$G_2 = 2.10$  mm. มีผลการจำลองแสดงดัง ภาพที่ 2 และ  
 ผลการจำลองค่าความสูญเสียเนื่องจากการย้อนกลับ  
 โดยการเปลี่ยนแปลงค่า  $S_1$  จะได้ค่าความถี่กลาง  
 $f_1$ ,  $f_2$ ,  $f_3$  และค่าแบนด์วิดท์ แสดงดังตารางที่ 1



ภาพที่ 2 ผลการจำลองค่าความสูญเสียเนื่องจากการย้อนกลับโดยการเปลี่ยนแปลงค่า  $S_1$

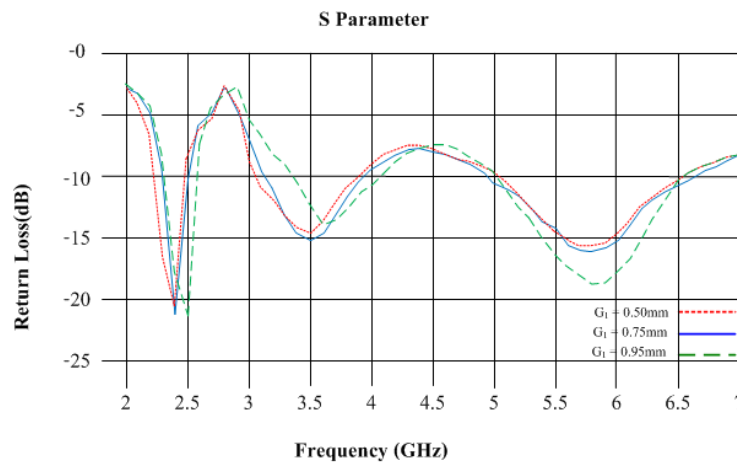
**ตารางที่ 1** ผลการจำลองค่าความสูญเสียเนื่องจากการย้อนกลับ โดยการเปลี่ยนแปลงค่า  $S_1$

$S_1$	$f_1 / BW$ (GHz)	$f_2 / BW$ (GHz)	$f_3 / BW$ (GHz)
2.00 mm	2.4/0.18	3.3/0.8	5.2/1.69
<b>2.50 mm</b>	<b>2.4/0.16</b>	<b>3.3/0.80</b>	<b>5.2/1.77</b>
3.00 mm	2.4/0.16	3.3/0.66	5.2/1.69

ผลการจำลอง การเปลี่ยนแปลงค่า  $S_1$  จะมีผลต่อค่าความสูญเสียเนื่องจากการย้อนกลับของสายอากาศที่ดี สังเกตเห็นได้ว่าที่ค่า  $S_1 = 2.50$  mm. นั้น จะมีค่าความสูญเสียเนื่องจากการย้อนกลับที่ดีที่สุด และมีผลค่าความสูญเสียเนื่องจากการย้อนกลับของสายอากาศเป็นผลตอบสนองแบบสามความถี่

จำลองการเปลี่ยนแปลงค่า  $G_1$  เมื่อกำหนดให้

$W_1 = 15.00$  mm.,  $W = 26.11$  mm.,  $L = 40.39$  mm.,  $L_f = 17.46$  mm.,  $L_1 = 15.08$  mm.,  $L_2 = 5.00$  mm.,  $L_3 = 7.00$  mm.,  $S_1 = 2.50$  mm.,  $S_2 = 0.86$  mm.,  $G_2 = 2.10$  mm. มีผลการจำลองแสดง ภาพที่ 3 และผลการจำลองค่าความสูญเสียเนื่อง จากการย้อนกลับโดยการเปลี่ยนแปลงค่า  $G_1$  จะได้ค่าความถี่กลาง  $f_1$ ,  $f_2$ ,  $f_3$  และค่าแบนด์วิดท์ แสดงดังตารางที่ 2



**ภาพที่ 3** ผลการจำลองค่าความสูญเสียเนื่องจากการย้อนกลับโดยการเปลี่ยนแปลงค่า  $G_1$

**ตารางที่ 2** ผลการจำลองค่าความสูญเสียเนื่องจากการย้อนกลับโดยการเปลี่ยนแปลงค่า  $G_1$

$G_1$	$f_1 / BW$ (GHz)	$f_2 / BW$ (GHz)	$f_3 / BW$ (GHz)
0.50 mm	2.4/0.08	3.3/0.76	5.2/1.41
<b>0.75 mm</b>	<b>2.4/0.16</b>	<b>3.3/0.80</b>	<b>5.2/1.77</b>
0.95 mm	2.4/0.14	3.3/0.07	5.2/1.41

ผลการจำลองโดยการเปลี่ยนแปลงค่า  $G_1$  สังเกตได้ว่าที่ค่า  $G_1 = 0.75$  mm. นั้นจะมีค่าความสูญเสียเนื่องจากการย้อนกลับที่ดีที่สุดและมีผลค่าความสูญเสียเนื่องจากการย้อนกลับของสายอากาศเป็น

ผลตอบสนองแบบสามความถี่ และ ค่าความสูญเสียเนื่องจากการย้อนกลับของสายอากาศมีค่าต่ำกว่า - 10 dB

### ผลการวิจัย

เมื่อทำการวิเคราะห์การจำลองแบบด้วยโปรแกรม IE3D จนได้ขนาดต่างๆ ของโครงสร้างสายอากาศที่เหมาะสมที่สุด นำค่าที่ได้นำมาสร้างเป็น

สายอากาศ แสดงดัง ภาพที่ 4 เป็นชิ้นงานจริงของสายอากาศแพทช์ ย่านความถี่สามแถบที่ป้อนด้วยสายนำสัญญาณแบบระนาบร่วม และมีค่าของสายอากาศแสดงดังนี้

$$W_1 = 15.00 \text{ mm.}$$

$$L_1 = 15.08 \text{ mm.}$$

$$W_f = 4.01 \text{ mm.}$$

$$L_2 = 5.00 \text{ mm.}$$

$$W = 26.11 \text{ mm.}$$

$$L_3 = 7.00 \text{ mm.}$$

$$G_1 = 0.75 \text{ mm.}$$

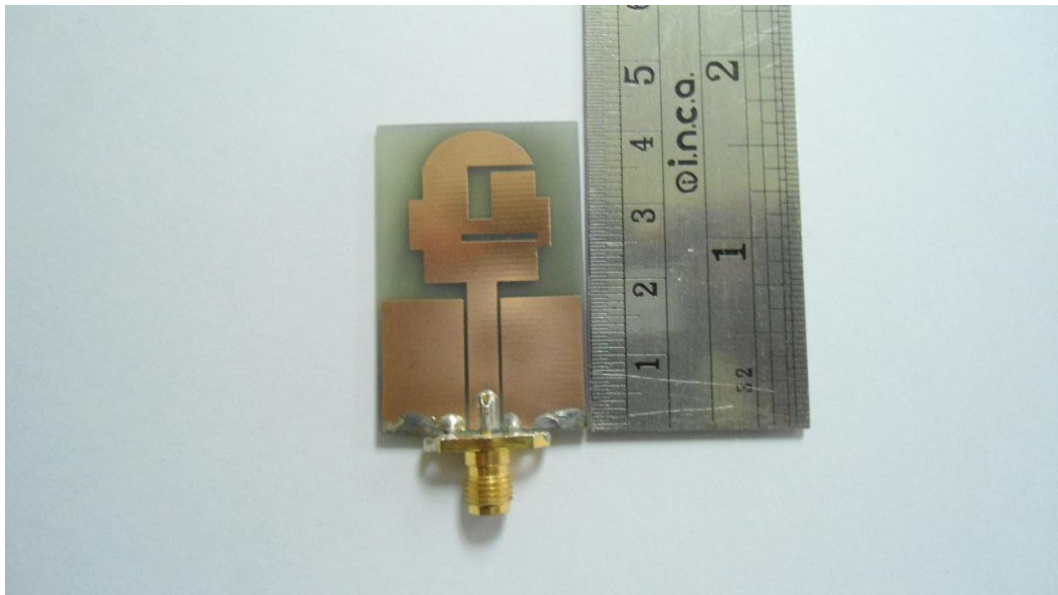
$$L_f = 17.46 \text{ mm.}$$

$$G_2 = 2.10 \text{ mm.}$$

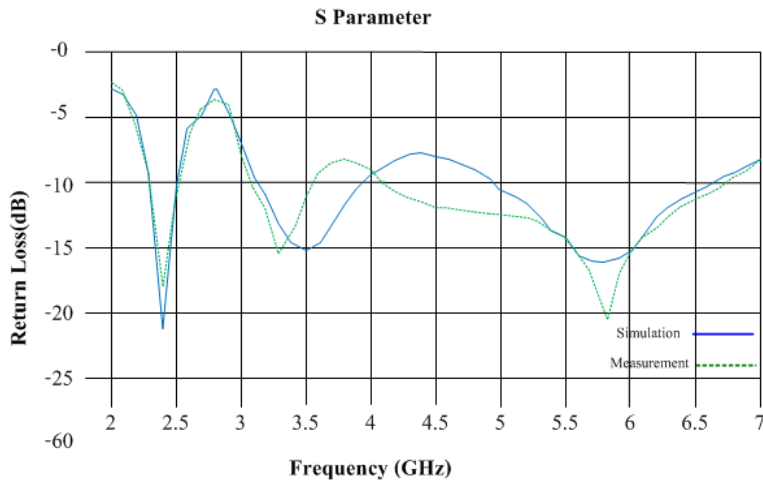
$$S_1 = 3.00 \text{ mm.}$$

$$G = 0.37 \text{ mm.}$$

$$S_2 = 0.75 \text{ mm.}$$



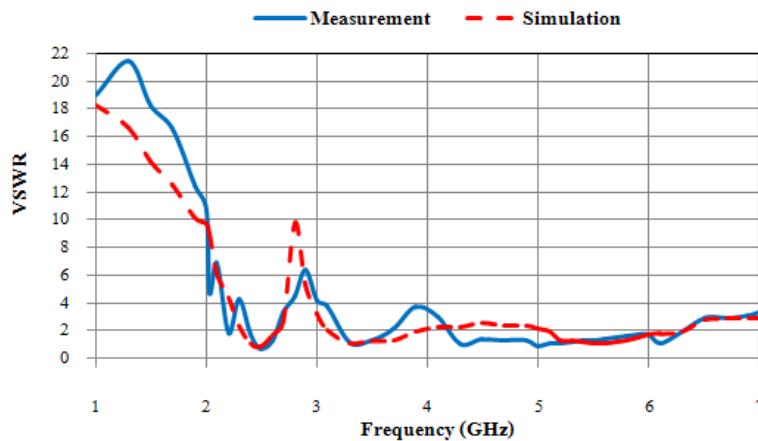
ภาพที่ 4 ชิ้นงานจริงของสายอากาศแบบระนาบร่วม



ภาพที่ 5 การเปรียบเทียบการจำลองของค่าความสูญเสียเนื่องจากการย้อนกลับ กับการวัดชิ้นงานจริงของสายอากาศ

จากภาพที่ 5 ผลที่ได้จากการวัดชิ้นงานเปรียบเทียบกับผลที่ได้จากการจำลองมีความแตกต่างกันที่ค่าการ

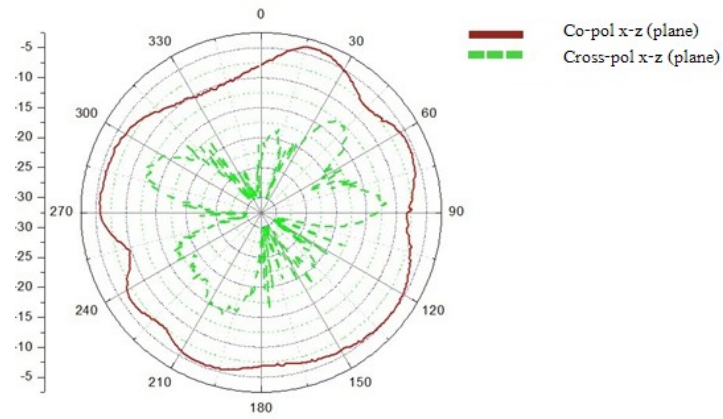
สูญเสียย้อนกลับ โดยจะมีความแตกต่างจากการจำลองอยู่เล็กน้อย



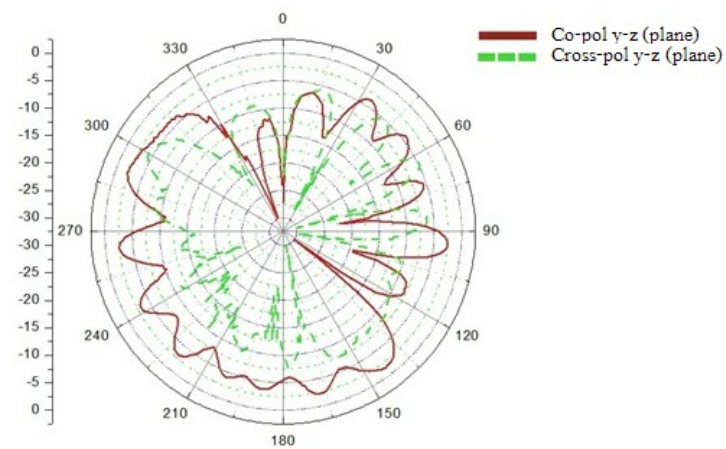
ภาพที่ 6 การเปรียบเทียบการจำลองของอัตราส่วนคลื่นนิ่งกับการวัดชิ้นงานจริงของสายอากาศ

จากภาพที่ 6 ผลที่ได้จากการวัดชิ้นงานจริงเปรียบเทียบกับผลที่ได้จากการจำลองของอัตราส่วนคลื่นนิ่งมีความแตกต่างกันที่ความกว้างของแบนด์ วิดท์

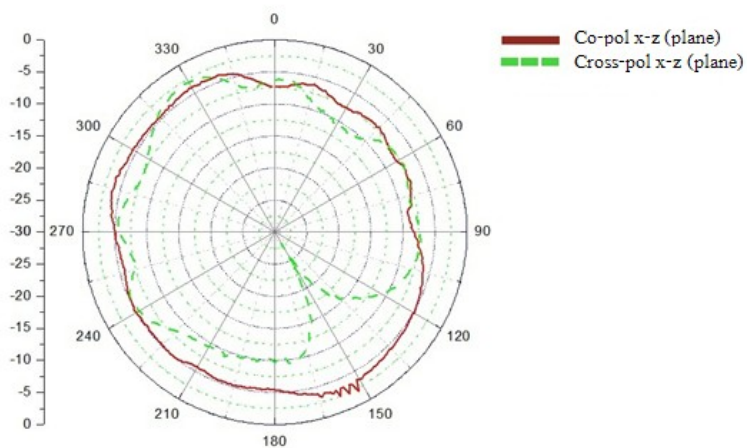
และภาพที่ 7 a) – f) แสดงผลการวัดแบบรูปการแผ่พลังงานของสายอากาศ



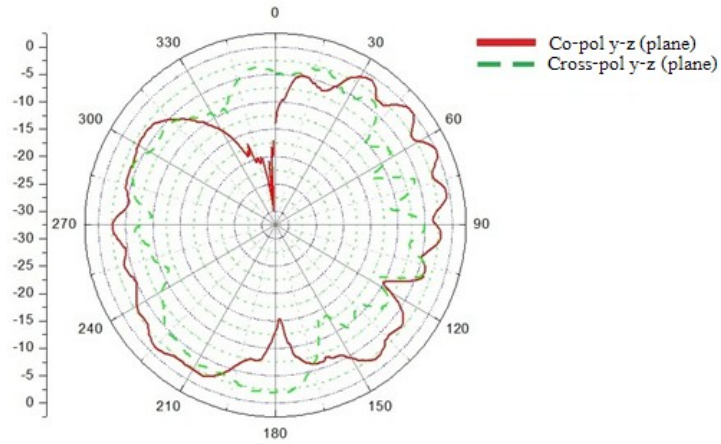
a) ความถี่ 2.4 GHz ระนาบ x-z



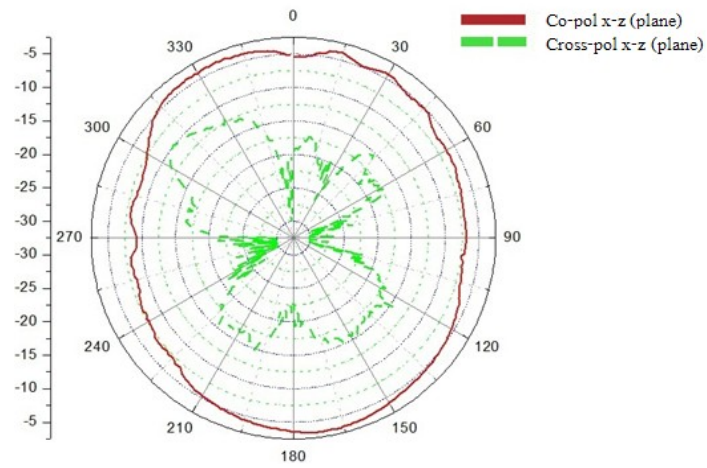
b) ความถี่ 2.4 GHz ระนาบ y-z



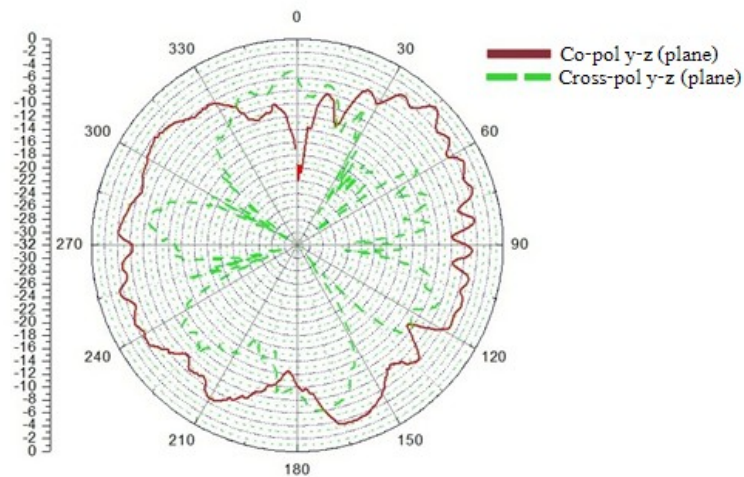
c) ความถี่ 3.3 GHz ระนาบ x-z



d) ความถี่ 3.3 GHz ระนาบ y-z



e) ความถี่ 5.2 GHz ระนาบ x-z



f) ความถี่ 5.2 GHz ระนาบ y-z

ภาพที่ 7 (a) – (f) ผลการวัดแบบรูปการแผ่พลังงานของสายอากาศ



## สรุปและวิจารณ์ผล

สายอากาศรูปแบบใหม่ความถี่สามแถบที่ป้อนด้วยสายนำสัญญาณแบบระนาบร่วม โดยอาศัยหลักการของสายอากาศแพทช์รูปโครงสร้างใหม่ที่มีการเปิดร่องทำให้เกิดการเรโซแนนซ์สามโหมดความถี่ ซึ่งผลที่ได้จากการจำลองการทำงานของค่าความสูญเสียเนื่องจากการย้อนกลับต่ำกว่า  $-10$  dB ที่ย่านความถี่  $2.4$  GHz มีแบนด์วิดท์  $0.16$  GHz ( $2.34$ -  $2.50$  GHz),  $3.3$  GHz มีแบนด์วิดท์  $0.80$  GHz ( $3.15$ -  $3.95$  GHz) และ  $5.2$  GHz มีแบนด์วิดท์  $1.77$  GHz ( $4.85$ -  $6.62$  GHz) จากผลการจำลองการทำงานและทำให้เหมาะสมมากที่สุดจะพบว่าสายอากาศได้ค่าแบนด์วิดท์ที่สูงที่สุดและจากการวัดชิ้นงานจริงด้วยเครื่องวิเคราะห์สัญญาณไฟฟ้า (Network Analyzer) พบว่าสายอากาศรูปโครงสร้างใหม่ความถี่สามแถบที่ป้อนด้วยสายนำสัญญาณแบบระนาบร่วม มีค่าความสูญเสียเนื่องจากการย้อนกลับต่ำกว่า  $-10$  dB ที่ความถี่ช่วงต่ำมีค่าความสูญเสียย้อนกลับต่ำสุด  $-18.7$ dB ที่ความถี่  $2.49$  GHz มีแบนด์วิดท์  $0.42$  GHz ( $2.23$ - $2.65$ ) ที่ความถี่กลางมีค่าความสูญเสียย้อนกลับต่ำสุด  $-16.1$ dB ที่ความถี่  $3.35$  GHz มีแบนด์วิดท์  $0.28$  GHz ( $3.23$ - $3.51$ ) และที่ความถี่ช่วงสูงมีค่าความสูญเสียย้อนกลับต่ำสุด  $-20.5$  dB ที่ความถี่  $5.81$ GHz มีค่าแบนด์วิดท์  $2.46$  GHz ( $4.21$ - $6.67$  GHz)

## เอกสารอ้างอิง

Agrawell, N.P., Kumar, G., and Ray, K.P. 1998. Wideband planar monopole antennas. IEEE Transaction on Antennas Propagation, AP-46: 249-251.

Archevapanichai, T. and Wakabayashi, T. 2007. E-Shaped Slot Antenna for WLAN Applications, ICCAS, October: 2854-2857.

Bahl, I.J. and Bhartia, P. 1980. Microstrip Antennas, Dedham MA, Artech house Inc.

Balanis, C.A. 1997. Antenna Theory Analysis and Design. Singapore: John wiley & Son.

Balanis, C.A. 1982. Antenna Theory. 2<sup>nd</sup> Edition, New York, John Wiley & Son, Inc.

Chen, H.C. and Chen, H.T., 2004. A CPW-Fed Dual-Frequency Monopole Antenna. IEEE transactions on antennas and propagation, April. Vol.52, No.4.

Chulvanich, C., Nakasuwan, J., Songthanapitak, N., Nantrasirichai, N. and Wakabayashi, T. 2007. Design Narrow Slot Antenna for Dual Frequency, PIERS, China, March: 1024-1028.

Eldek, A.A., Allen, C.M., Elsherbeni, A.Z., Smith, C.E. and Lee, K.F. 2002. Slot Antenna for Dual and Wideband Operation in Wireless Communication Systems. IEEE Antenna's and Propagation Magazine, Vol.44.

Hammerstad, E.O. 1975. Equation for Microstrip Circuit Design, 5<sup>th</sup> IEEE Europe Microwave Conference: 268-272.

Horita A. and Iwasaki H. 2005. Planar Trapezoid Dipole Antenna with Ultra Wideband Characteristic, IEEE Antennas and Propagation Society International Symposium, Vol. 2B: 540-543.

Sari-Kha, K., Akkaraektharin, P. and Vivek, V. 2006. A Broadband CPW-fed Equilateral Hexagonal Slot Antenna. *International Symposium on Communications and Information Technologies*, Bangkok: 783-786.

Sze, J.Y., Wong, K.- L. 2001. Bandwidth enhancement of a microstrip – Line Fed Printed Wideslot antenna. IEEE Antennas and Wireless Propagation, Vol. 49: 1020-1024.